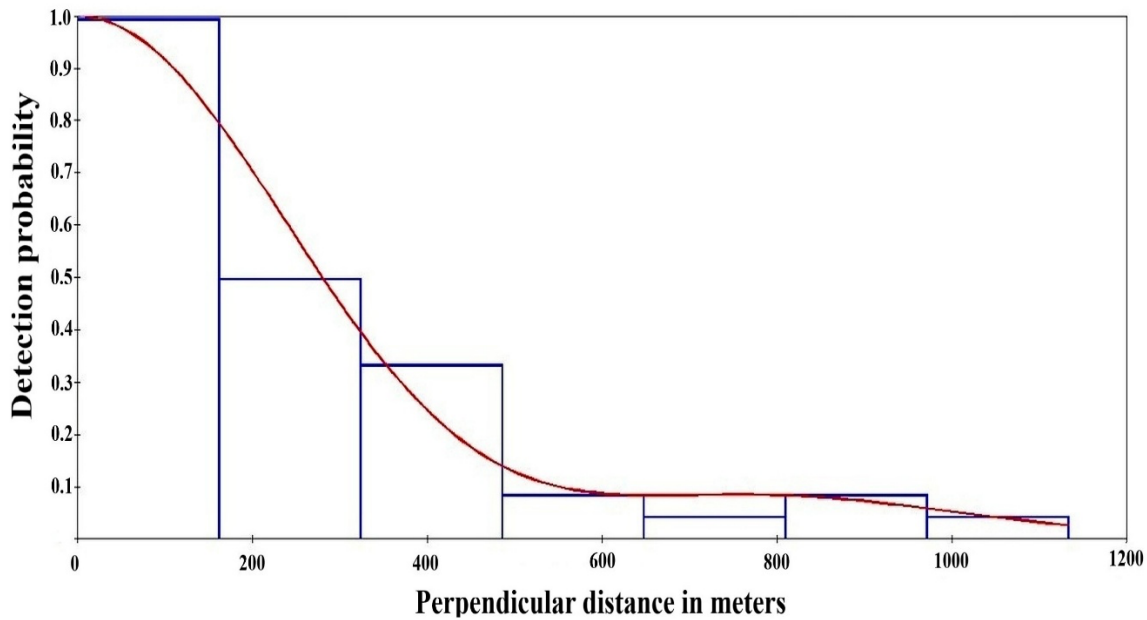
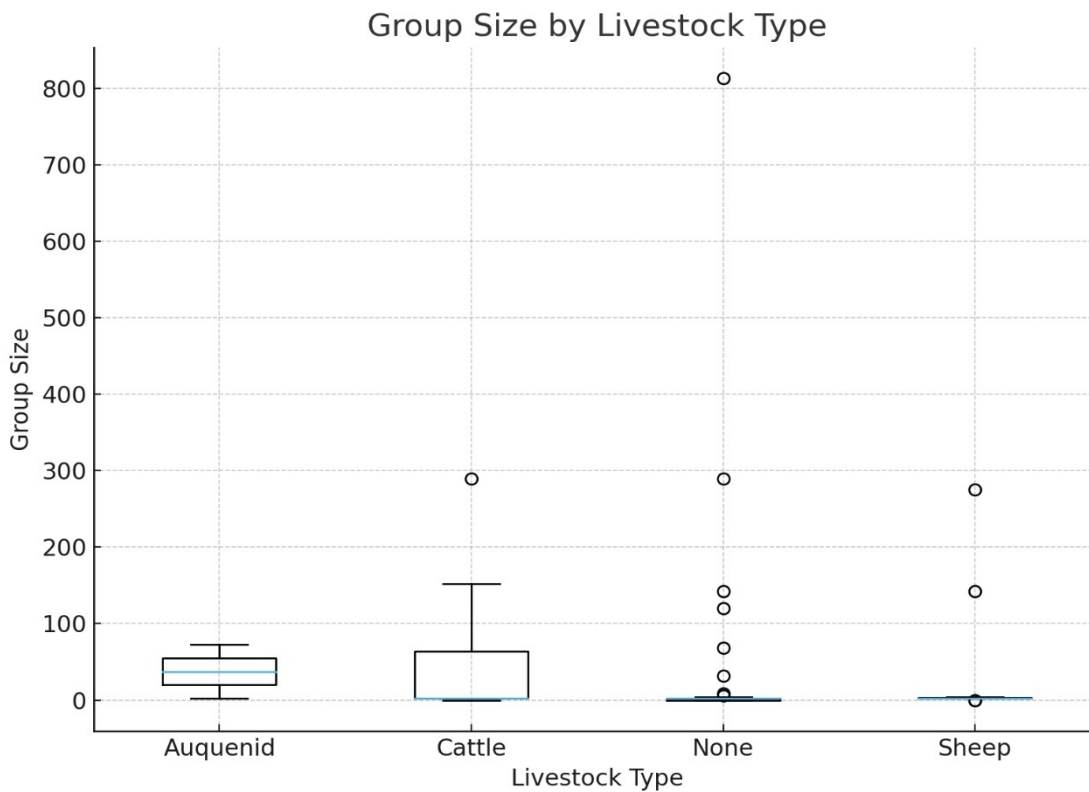


SUPPORTING INFORMATION / INFORMAZIONI SUPPLEMENTARI

Supplementary Fig. 1 – Half-Normal detection probability function with cosine adjustment term (red curve) fitted to the histogram of perpendicular distances between the observer and Andean Goose groups. / Funzione di probabilità di rilevamento semi-normale con termine di aggiustamento del coseno (curva rossa) adattata all'istogramma delle distanze perpendicolari tra l'osservatore e i gruppi di oca andina.



Supplementary Fig. 2 – Boxplot of Andean Goose group size by livestock type. Group sizes varied across livestock categories, with the largest aggregations generally recorded in areas where cattle or auquenid (South American camelids) were present. Sites without livestock typically showed small group sizes, but with high variability and occasional large aggregations. Although larger groups frequently co-occurred with certain livestock types, this pattern does not imply a causal association and is consistent with the GLM results indicating that livestock presence does not significantly predict goose occurrence. / Boxplot delle dimensioni dei gruppi di oche andine per tipo di bestiame. Le dimensioni dei gruppi variavano a seconda delle categorie di bestiame, con le aggregazioni più grandi generalmente registrate in aree in cui erano presenti bovini o auchenidi (camelidi sudamericani). I siti senza bestiame mostravano in genere gruppi di piccole dimensioni, ma con elevata variabilità e occasionalmente grandi aggregazioni. Sebbene gruppi più grandi si presentassero frequentemente contemporaneamente a determinati tipi di bestiame, questo schema non implica un'associazione causale ed è coerente con i risultati del GLM, che indicano che la presenza di bestiame non predice in modo significativo la presenza di oche.